



Universidad
del Cauca

Serie de Fourier aplicado a una función Diente de Sierra
Teoría de telecomunicaciones I, Grupo A12
7 de marzo de 2021.

Series de Fourier

Jefry Nicolás Chicaiza - jefryn@unicauca.edu.co
Jose Nicolás Zambrano - jnzambranob@unicauca.edu.co

Introducción

En el siguiente documento se desarrollará el informe del Trabajo 1 de la asignatura Teoría de las telecomunicaciones 1. El trabajo presenta inicialmente el desarrollo analítico mediante serie de Fourier de la señal planteada, la cual es del tipo "diente de sierra" trasladado en el tiempo.

Iniciar con el desarrollo analítico es necesario debido a que para alcanzar los resultados esperados en la simulación, se requiere conocer de antemano los coeficientes de la serie de Fourier que permitirán reconstruir la señal a través de iteraciones realizadas con MATLAB.

Posteriormente se abordaran las hipótesis planteadas en el documento guía del trabajo y se buscará llegar a conclusiones y síntesis a partir de los datos obtenidos en la simulación de los diferentes escenarios.

Los teoremas e hipótesis nos dicen que la serie de Fourier de cualquier señal periódica de potencia finita la podemos obtener por medio de una suma infinita de funciones sinusoidales. La serie de Fourier de una señal pueden expresarse de dos maneras, una representada por serie trigonométrica y otra con representación de serie compleja.

En este documento unicamente se realiza los cálculos de la serie de Fourier para la señal propuesta con la representación trigonométrica, que observamos a continuación:

$$x(t) = a_0 + \sum_{n=1}^{\infty} a_n \cos(2\pi n f_0 t) + b_n \sin(2\pi f_0 t) \quad (1)$$

Donde los términos a_0 , a_n y b_n son los coeficientes de la serie de Fourier, de los cuales es necesario realizar cálculos para encontrar sus valores y lograr representar la serie de la señal dada.

El desarrollo de este documento esta constituido por una sesión que brinda información de como se obtuvo las diferentes expresiones y el plan de pruebas, que hacen posible la



Universidad
del Cauca

Metodología

La metodología empleada para el desarrollo de la serie de Fourier a la señal planteada se logra mediante la aplicación de los teoremas e hipótesis, en el apartado anterior se menciona la necesidad de calcular los valores de ciertos términos para logra obtener la representación matemática de la serie de Fourier de la señal planteada.

En primer lugar es importante conocer el comportamiento que nos describe los términos, el primer termino de la serie, a_0 , no está asociado con una frecuencia y es una constante, además es conocido como el nivel DC de la señal, representa el cambio de la señal sobre un nivel arbitrario de referencia. Este termino lo podemos calcular de la siguiente manera:

$$a_0 = \frac{1}{T} \int_T x(t) dt \quad (2)$$

De la expresión anterior podemos deducir que el termino DC representa el área bajo la curva de la señal [1], que hasta el momento no conocemos la función que la representa, por tanto es necesario obtener la función a partir de su gráfica. En la figura 1 observamos la señal asignada.

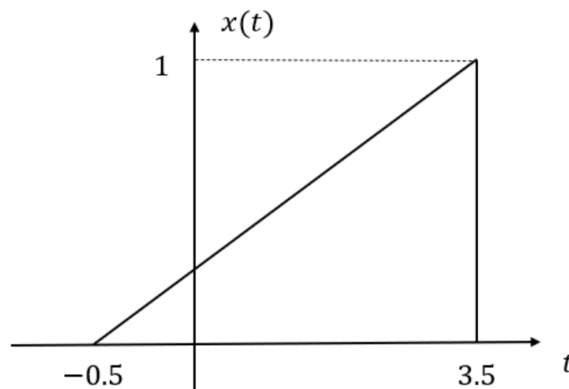


Figura 1: Gráfica de la señal tipo "diente de sierra".

En [2] se menciona que durante el intervalo en el que se presenta la señal, la función que responde a una onda diente de sierra se da de la siguiente manera:

$$x(t) = \frac{A}{T}t$$

Por lo que la función a la que responde la señal que se plantea debe ser del mismo modo, la expresión de la señal es la siguiente:

$$x(t) = \frac{1}{4}t + \frac{1}{8} \quad (3)$$



Universidad
del Cauca

Ahora que conocemos la expresión de la señal se procederá a obtener el valor del termino a_0 , con las ecuaciones 2 y 3:

$$a_0 = \frac{1}{4} \int_{-\frac{1}{2}}^{\frac{7}{2}} \frac{1}{4}t + \frac{1}{8}$$

$$a_0 = \frac{1}{2} \quad (4)$$

Para el valor de los términos restantes es importante mencionar que con frecuencia las simetrías simplifican a los problemas matemáticos. En el caso de la series de Fourier, se utiliza la simetría en la paridad para simplificar el problema. En el caso de funciones pares el desarrollo de la serie de Fourier implica solamente la necesidad de calcular a_0 y a_n , y sólo b_n para impares [3].

La señal que concierne a este texto podemos deducir de su gráfica(figura 1) que no se comporta igual que su imagen respecto al eje y , ni tampoco hay presencia de simetría al rotar la gráfica en 180 grados. Por tanto, se trata de una función sin paridad, lo que implica la necesidad de calcular todos los términos de la serie trigonométrica de Fourier .

Las siguientes expresiones corresponden al calculo de los coeficientes a_n y b_n :

$$a_n = \frac{2}{T} \int_T x(t) \cos(2\pi n f_0 t) dt \quad (5)$$

$$b_n = \frac{2}{T} \int_T x(t) \sin(2\pi n f_0 t) dt \quad (6)$$

los resultados obtenidos al realizar los cálculos para los coeficientes son los siguientes (los cálculos que se presentan en este documento están simplificados, por tal motivo se integra el paso a paso en el apartado de Anexos):

- Calculo a_n

$$a_n = \frac{1}{8} \int_{-\frac{1}{2}}^{\frac{7}{2}} t \cos(2\pi n f_0 t) dt + \frac{1}{16} \int_{-\frac{1}{2}}^{\frac{7}{2}} \cos(2\pi n f_0 t) dt$$

$$a_n = \frac{1}{\pi n} \sin\left(\frac{7\pi n}{4}\right) + \frac{1}{2\pi^2 n^2} \left(\cos\left(\frac{7\pi n}{4}\right) - \cos\left(\frac{\pi n}{4}\right) \right) \quad (7)$$

- Calculo b_n

$$b_n = \frac{1}{8} \int_{-\frac{1}{2}}^{\frac{7}{2}} t \sin(2\pi n f_0 t) dt + \frac{1}{16} \int_{-\frac{1}{2}}^{\frac{7}{2}} \sin(2\pi n f_0 t) dt$$

$$b_n = -\frac{1}{\pi n} \cos\left(\frac{7\pi n}{4}\right) + \frac{1}{2\pi^2 n^2} \left(\sin\left(\frac{7\pi n}{4}\right) + \sin\left(\frac{\pi n}{4}\right) \right) \quad (8)$$



Universidad
del Cauca

Lo siguiente sera completar la serie de Fourier para obtener la representación matemática de las funciones sinusoidales que construyen la señal planteada, reemplazamos las ecuaciones 7 y 8 en la ecuación 1:

$$x(t) = \frac{1}{2} + \sum_{n=1}^{\infty} \left[\frac{1}{\pi n} \sin\left(\frac{7\pi n}{4}\right) + \frac{1}{2\pi^2 n^2} \left(\cos\left(\frac{7\pi n}{4}\right) - \cos\left(\frac{\pi n}{4}\right) \right) \right] \cos\left(\frac{\pi n t}{2}\right) \dots \\ + \left[-\frac{1}{\pi n} \cos\left(\frac{7\pi n}{4}\right) + \frac{1}{2\pi^2 n^2} \left(\sin\left(\frac{7\pi n}{4}\right) + \sin\left(\frac{\pi n}{4}\right) \right) \right] \sin\left(\frac{\pi n t}{2}\right) \quad (9)$$

Ahora que se ha obtenido la expresión que representa la serie de Fourier de la señal, se procederá a realizar un análisis de la serie de Fourier a través de una simulación realizada en computadora, en ella podremos visualizar como se resuelve para cientos, o incluso miles, de componentes. Podemos comprobar qué tan buena es la representación reconstruyendo la señal utilizando diferentes cantidades de componentes, para esto se realizaran pruebas con un Script desarrollado en MATLAB.

Después de haber realizado el planteamiento de los fundamentos matemáticos requeridos para solucionar el problema, se procedió a realizar la planificación del diseño practico requerido para solucionar el mismo.

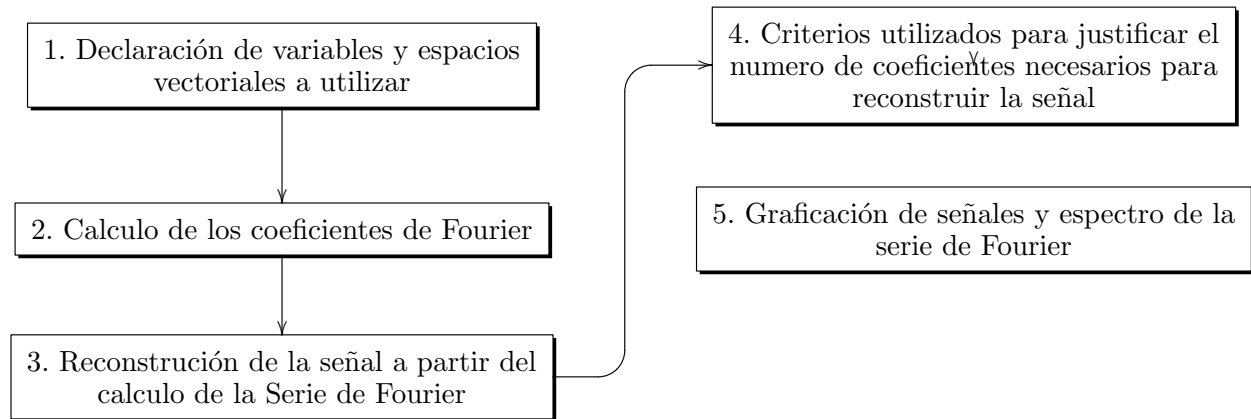
Se pueden identificar 6 objetivos clave a desarrollar con la simulación en MATLAB:

1. Reconstrucción de la señal dada a partir de la serie de Fourier.
2. Justificación del número de coeficientes necesarios para ua reconstrucción adecuada de la señal original.
3. Análisis del espectro de magnitud cuando el periodo T de la señal reconstruida cambia.
4. Análisis del espectro de magnitud cuando se agrega espacio de tiempo donde $x(t) = 0$ entre los pulsos periódicos "diente de sierra".
5. Análisis de la continuidad del número de coeficientes necesarios cuando el periodo de la señal cambia.
6. Análisis de la continuidad del número de coeficientes necesarios cuando se agregan ceros como en el objetivo 4.

Después de realizar el análisis de los requerimientos anteriores, se plantea el siguiente esquema general para el desarrollo de la simulación:



Universidad
del Cauca



Para la realización del script de simulación se utilizó el paradigma de programación estructurada, ya que el mismo permite agilidad en el desarrollo del código, así como también facilita el desarrollo de los planteamientos matemáticos necesarios para lograr los objetivos de la simulación.

Adicionalmente la programación estructurada, brinda al observador del código una perspectiva secuencial en el desarrollo del algoritmo de simulación, y, por lo tanto, un orden lógico y trazable de los resultados esperados en la ejecución de este.

Plan de pruebas

Retomando los 6 objetivos clave a desarrollar con la simulación; se plantea el siguiente plan de pruebas para cada uno de ellos:

Análisis de Resultados

Para la obtención de los resultados se realizaron dos scripts en MATLAB. En el primer script se realizó el calculo de los coeficientes de Fourier de manera manual y se transcribieron los resultados al código. En dicha simulación, los coeficientes A_n cuando n es mayor que 0, se cancelaban. Esta primera simulación resultaba valida para reconstruir la señal original a partir de la expresión de la serie de Fourier, sin embargo, evaluar los diferentes escenarios de pruebas planteadas en el trabajo como agregar espacios en blanco o modificar el periodo de la señal requeriría de cambios drásticos en la escritura y evaluación del código.

El anterior escenario fue motivación para realizar una segunda versión del script, que permitiera generalizar los escenarios planteados en el trabajo y permitiera alcanzar conclusiones completas del mismo.

El segundo código realiza los cálculos de los coeficientes de manera simbólica, los cuales luego



Universidad
del Cauca

Objetivo Clave	Pruebas y Criterio de Satisfacción
Reconstrucción de la señal	Se dibuja mediante la simulación la señal original y la señal reconstruida.
	Se observan similitudes y diferencias.
	Se concluye si las señales son gráficamente similares o diferentes.
Justificación del número de Coeficientes	Se calcula la igualdad de Parseval.
	Se observa el fenómeno de Gibbs en la vecindad de las desigualdades de la señal.
	Se analizan los valores obtenidos con 5 diferentes números de armónicos.
	Se concluye el valor de armónicos necesarios para tener una reconstrucción aceptable de la señal.
Análisis del espectro de magnitud cuando el periodo T cambia	Se dibuja y se analiza el espectro de magnitud con periodo $T = 4$ y $N = 100$.
	Se dibuja y se analiza el espectro de magnitud con el mismo N y 3 valores diferentes de periodo T .
	Se analiza las diferencias entre las gráficas.
Análisis del espectro de magnitud cuando se agregan ceros	Se dibuja y se analiza el espectro de magnitud con periodo $T_r = 4$, $N = 100$ y periodo de ceros $T_0 = 0$.
	Se dibuja y se analiza el espectro de magnitud con el mismo N , T_r y 3 valores diferentes de periodo de ceros T_0 .
	Se analiza las diferencias entre las gráficas.
¿Número de coeficientes cambian cuando T cambia?	Se utilizan los resultados del objetivo 3 para analizar la igualdad de Parseval en cada caso.
	Se concluye si el valor de armónicos necesarios para tener una reconstrucción aceptable de la señal cambia o se mantiene.
¿Número de coeficientes cambian cuando se agregan ceros?	Se utilizan los resultados del objetivo 4 para analizar la igualdad de Parseval en cada caso.
	Se concluye si el valor de armónicos necesarios para tener una reconstrucción aceptable de la señal cambia o se mantiene.

Cuadro 1: Plan de pruebas.

son evaluados en vectores numéricos aumentando así su velocidad de procesamiento. El límite práctico en tiempo de ejecución se encontró en un valor cercano a los 5000 armónicos. Sin embargo, debido a que no es necesaria tal cantidad de cálculos, se acotó el máximo posible de armónicos a 100, los cuales permiten de manera suficiente alcanzar los objetivos esperados del trabajo.



Universidad
del Cauca

Desarrollo del Objetivo Clave 1–Reconstrucción de la señal

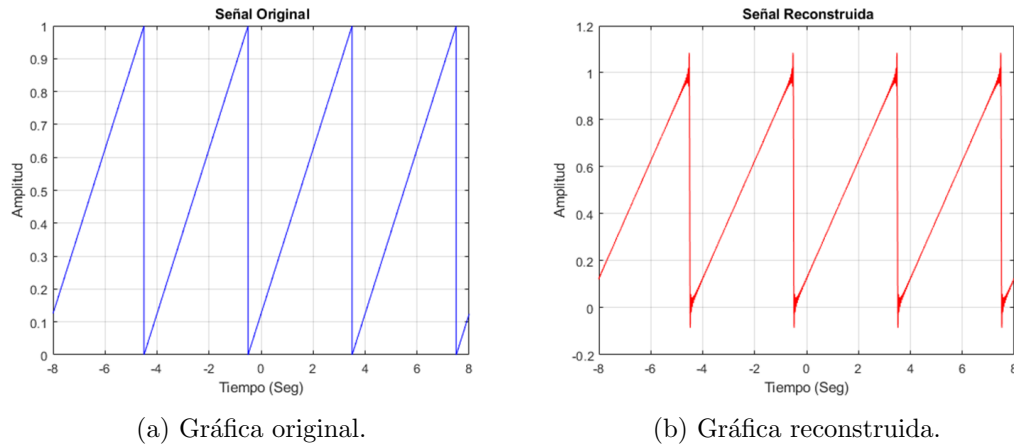


Figura 2: Gráficas del primer script.

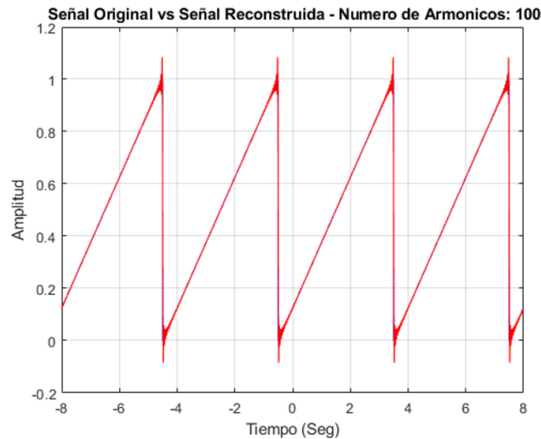


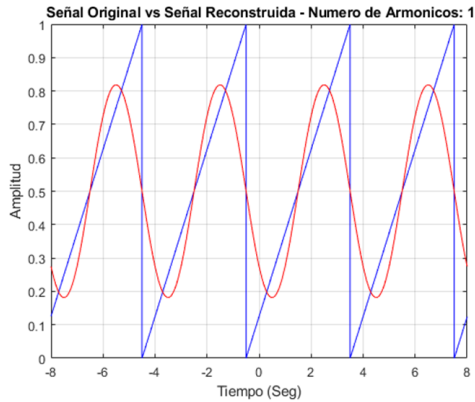
Figura 3: Gráfica sobrepuestas de la señal original y reconstruida.

En las figuras 2a, 2b y 3 se puede observar el principal resultado visible de esta simulación: Al desarrollar computacionalmente la sumatoria de la serie de Fourier se obtiene como resultado una señal gráficamente muy similar a la señal original. Se observan similitudes en las regiones continuas del diente de sierra o rampa. Sin embargo, como es de esperarse, las señales no son completamente idénticas, ya que en los puntos de discontinuidad de la señal periódica original se generan picos de amplitud explicados por el fenómeno de Gibbs. Las figuras anteriormente expuestas corresponden a una simulación realizada con la sumatoria de los 100 primeros armónicos. Mas adelante se abordarán escenarios de simulación con diferentes cantidades de armónicos en la serie.

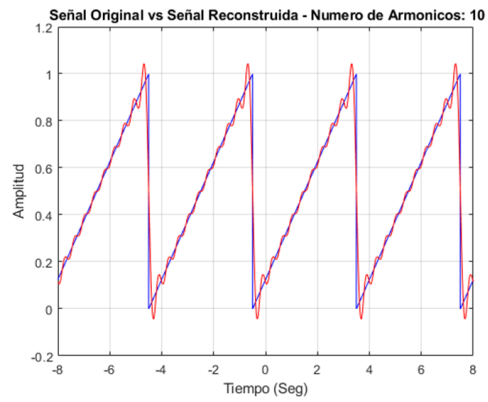


Universidad
del Cauca

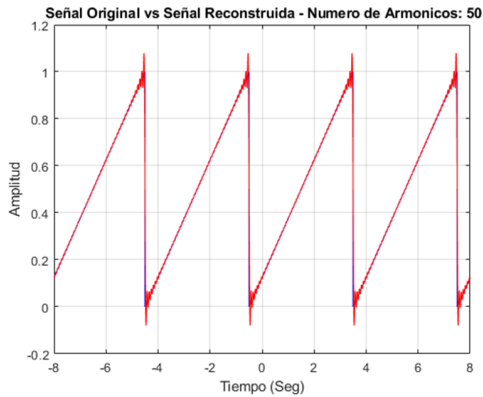
Desarrollo del Objetivo Clave 2–Justificación del Numero de Coeficientes



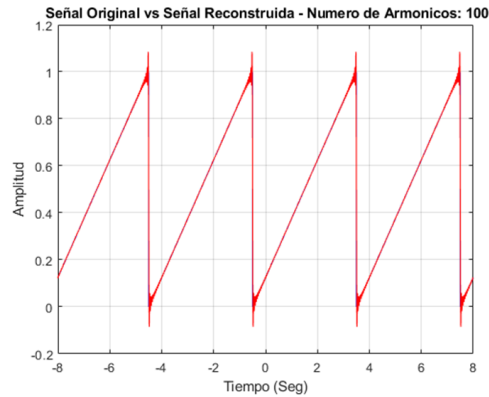
(a) Gráfica 1 armónico.



(b) Gráfica 10 armónicos.



(c) Gráfica 50 armónicos.



(d) Gráfica 100 armónicos.

Figura 4: Gráficas sobrepuestas de las señales con diferente número de armónicos.

Para justificar la cantidad de coeficientes o armónicos que son necesarios para reconstruir esta señal de manera adecuada, se usaran dos criterios diferentes: **La igualdad de Parseval** y el **fenómeno de Gibbs evaluado en el punto de la discontinuidad**.

Se considerará que la cantidad de armónicos es suficiente cuando la relación entre los dos lados de la igualdad de Parseval **supere el 99 % de similitud**, esto es:

$$\frac{2}{T} \int_0^T |f(t)|^2 dt = \frac{a_0^2}{2} + \sum_{n=1}^{n=narm} (a_n^2 + b_n^2)$$

Por lo tanto, para encontrar el ratio de similitud proponemos la siguiente expresión:



Universidad
del Cauca

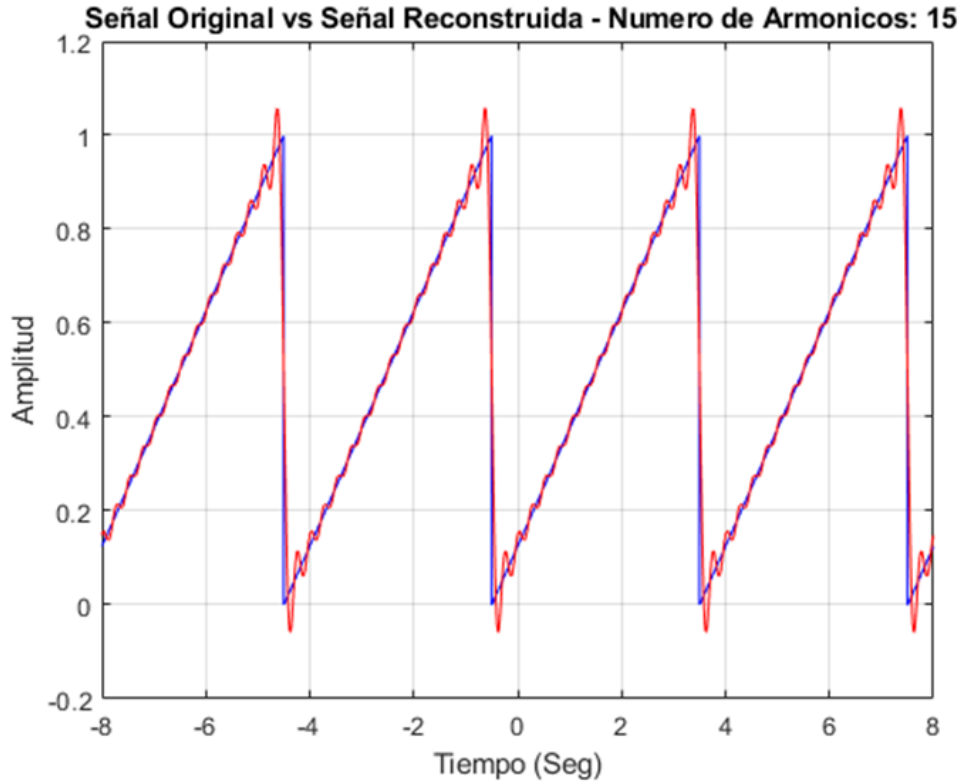


Figura 5: Gráficas sobrepuestas de las señales para 15 armónicos.

$$100 \frac{\frac{2}{T} \int_0^T |f(t)|^2 dt}{\frac{a_0^2}{2} + \sum_{n=1}^{n=narm} (a_n^2 + b_n^2)} > 99$$

Evaluando en la simulación encontramos que en el armónico $narm = 15$, el ratio de similitud supera el 99% ubicándose en 99.0198%. Esta es la señal reconstruida para ese número de armónicos:

Como segundo criterio de confirmación de la cantidad de armónicos necesarios para la reconstrucción de la señal, evaluamos la vecindad de la discontinuidad en $t = 3.5$ para confirmar que el valor de la señal reconstruida en la discontinuidad es igual a el valor medio de la suma de los limites por la izquierda y por la derecha en la señal original, es decir:

$$Sf(t_0) \cong \frac{f(t_0^+) + f(t_0^-)}{2}$$

donde $t_0 = 3.5$ que es el valor de la discontinuidad. Al evaluar en la simulación confirmamos que:



Universidad
del Cauca

$Sf(t_0) = \frac{f(t_0^+) + f(t_0^-)}{2} = 0.5000$ por lo que se confirma que el fenómeno de Gibbs en la desigualdad converge a su valor medio. Por lo tanto, verificamos que 15 armónicos son suficientes para tener una reconstrucción aceptable de la señal.

Conclusiones

Aunque puede parecer que gastaron sus mejores ideas en la sección de análisis, la diferencia de las conclusiones es que en este punto ustedes tienen una visión completa del trabajo, ya han abordado todas las fases y por lo tanto están en la capacidad de realizar un compendio de los aprendizajes obtenidos.

Esos aprendizajes deben estar estrechamente relacionados con lo que buscan en el trabajo, con lo que plantearon en el pro qué y el para qué en la introducción. Si esto fuera su trabajo de grado, las conclusiones deben estar relacionadas con los objetivos de ese trabajo.

Lo anterior implica que la siguiente conclusión no es una conclusión válida:

... MATLAB es un entorno de simulación muy adecuado, ya que permite implementar sistemas de telecomunicaciones...

Referencias

- [1] M. Silva, “Capítulo II: Análisis de Fourier,” Notas Cl., pp. 3–70, 2021.
- [2] A. Engineering, M. Subject, L. Transform, and O. F. Periodic, “Snpit & rc,” p. 11, [Online]. Available: <https://www.slideshare.net/surtikaushal/laplace-periodic-function-with-graph>.
- [3] E. Rojero, “Matemáticas Avanzadas,” Univ. Nac. Autónoma México, vol. 0.1, p. 52, 2009, [Online]. Available: <https://openlibra.com/es/book/download/matematicas-avanzadas>.